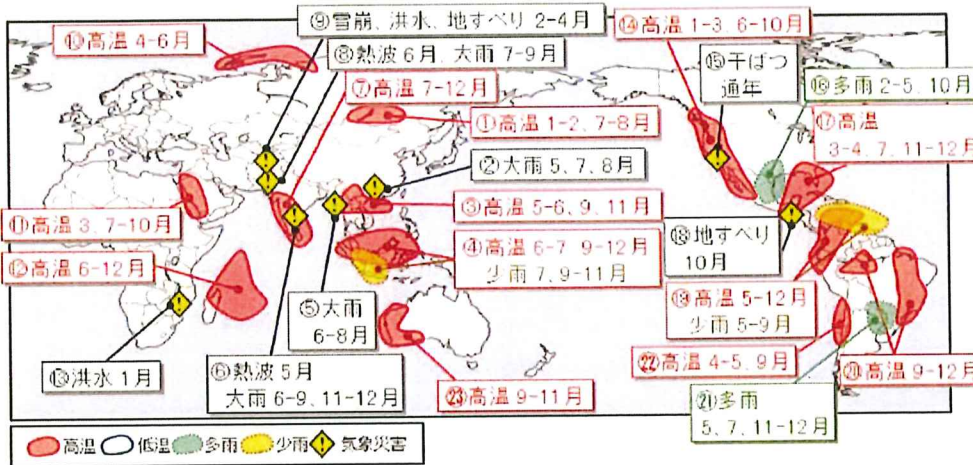


世界の年ごとの異常気象 ----- 対象期間：2015年 ▾

主な天候の特徴・気象災害



概況

年平均気温は、世界の多くのところで平年より高く、カナダ東部、南極大陸沿岸部などで平年より低かった。中央シベリアや西シベリアの一部、北米西岸、低緯度域の各地で、異常高温となる月が多かった。

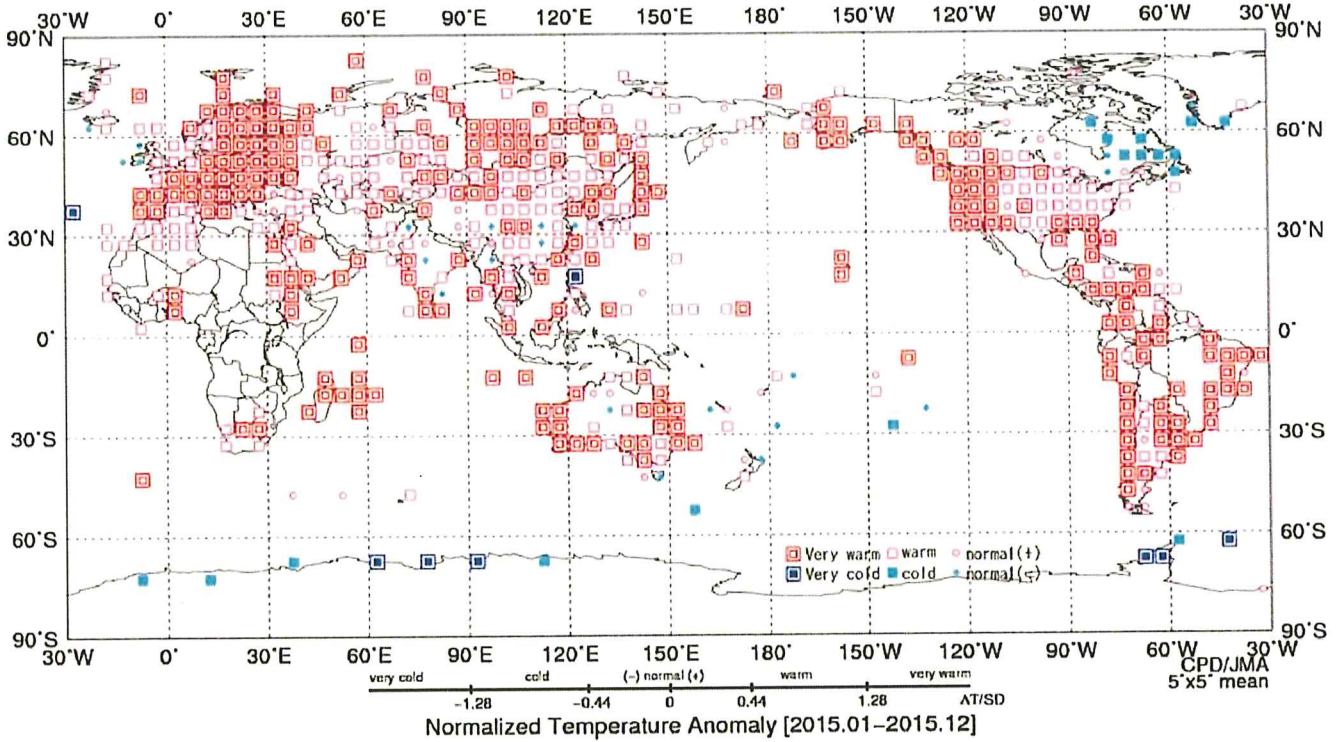
年降水量は、西日本から中国南東部、中国北部、中央シベリア西部からインド北部、ヨーロッパ北部、米国南部及びその周辺、エクアドルからチリ北部の沿岸部、パラグアイ及びその周辺、オーストラリア北部などで平年より多く、インドネシア中部から西部、アラビア半島南部、南アフリカ、カリブ海南部周辺、ブラジル東部、オーストラリア北東部などで平年より少なかった。米国南部からメキシコ中部、パラグアイ及びその周辺で異常多雨となる月が多く、インドネシア西部及びその周辺、南米北部では異常少雨となる月が多かった。

2015年に発生した主な異常気象・気象災害は以下のとおり。気象災害の記述は米国国際開発庁海外災害援助局とルーベンカトリック大学災害疫学研究所(ベルギー)の災害データベース(EM-DAT)や各国の政府機関・国連機関の発表等に基づいている。

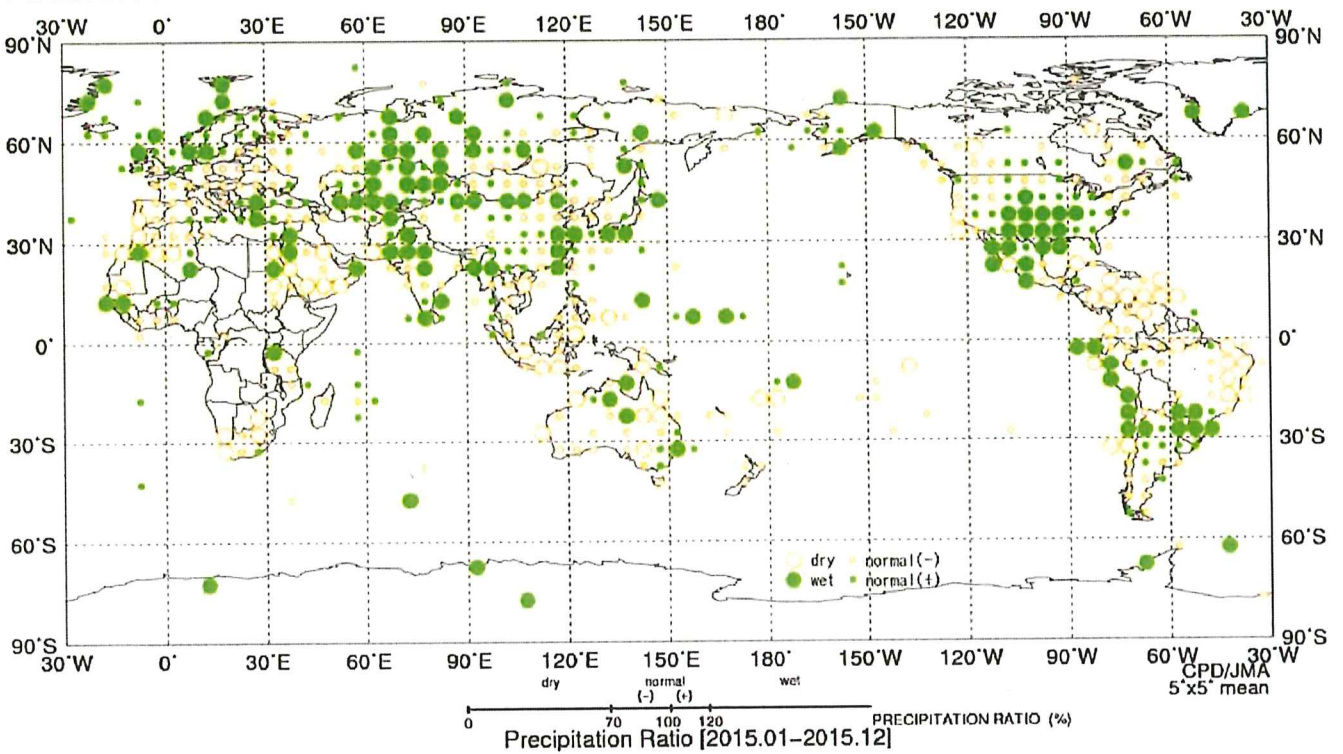
異常気象の種類	発生地域	概要
1 高温(1~2、7~8月)	中央シベリア南部	<ul style="list-style-type: none"> 中央シベリア南部では、1~2月と7~8月に異常高温となった。 中央シベリア南部のボルジャ：1~2月の2か月平均気温-19.1℃(平年差+5.7℃)。 中央シベリア南部のイルクーツク：7~8月の2か月平均気温20.0℃(平年差+2.9℃)。
2 大雨(5、7、8月)	中国南部	<ul style="list-style-type: none"> 中国では、南部を中心に各地で大雨による被害が伝えられ、5月、7月、8月にそれぞれ100人以上が死亡したと伝えられた。 中国のコフントン(広東)省コフンチョウ(広州)：5月の月降水量805mm(平年比274%)。 中国のチアンシー(江西)省ナンチャン(南昌)：7月の月降水量238mm(平年比171%)。 中国のスーチョワン(四川)省シーチャン(西昌)：8月の月降水量286mm(平年比156%)。
3 高温(5~6、9、11月)	インドシナ半島北部及びその周辺	<ul style="list-style-type: none"> インドシナ半島北部及びその周辺では、5~6月、9月、11月に異常高温となった。 ラオス北部のルアンプラバン：5~6月の2か月平均気温30.0℃(平年差+2.2℃)、9月の月平均気温28.5℃(平年差+1.7℃)。 タイ北部のチェンマイ：11月の月平均気温26.8℃(平年差+2.5℃)。
4 高温(6~7、9~12月)・ 少雨(7、9~11月)	インドネシア西部及びその周辺	<ul style="list-style-type: none"> インドネシア西部及びその周辺では、6~7月と9~12月に異常高温、7月と9~11月に異常少雨となった。 マレーシア南部のメルシン：6~7月の2か月平均気温28.0℃(平年差+1.4℃)。 インドネシア北西部のシボルガ(スマトラ島)：9~12月の4か月平均気温26.5℃(平年差+0.7℃)。 マレーシア南部のクアンタン：7月の月降水量37mm(平年比23%)。 インドネシアのバンジャルマシム(ボルネオ島)：9~11月の3か月降水量113mm(平年比19%)。
5 大雨(6~8月)	ミャンマー	<ul style="list-style-type: none"> ミャンマーでは、6~8月に大雨による洪水で120人以上が死亡したと伝えられた。 ミャンマー西部のシトウエ：6~8月の3か月降水量4109mm(平年比156%)。
6 熱波(5月)・ 大雨(6~9、11~12月)	インド	<ul style="list-style-type: none"> インドでは、5月下旬に熱波に見舞われ、中部や南東部で合計2300人以上が死亡したと伝えられた。 インドでは、6~9月のモンスーン期間中の洪水や地すべりにより合計で850人以上が死亡したと伝えられた。インド南東部は11~12月にも大雨に見舞われ、10月以降の死者の合計が400人を超えたと伝えられた。
7 高温(7~12月)	インド	<ul style="list-style-type: none"> インドでは、7~12月に異常高温となった。

			<ul style="list-style-type: none"> インド南部のハイデラーバード：7～12月の6か月平均気温27.4℃（平年差+2.2℃）。
8	熱波(6月)・大雨(7～9月)	パキスタン	<ul style="list-style-type: none"> パキスタン南部では6月後半に熱波に見舞われ、1200人以上が死亡したと伝えられた。 パキスタン南部のカラチ国際空港：6月の月平均気温33.6℃（平年差+1.9℃）。 パキスタンでは、7～9月のモンスーン期間中の洪水や地すべりにより230人以上が死亡したと伝えられた。
9	雪崩、洪水、地すべり(2～4月)	アフガニスタン	<ul style="list-style-type: none"> アフガニスタンの中部から東部では、2～4月に、雪崩、洪水、地すべりなどにより340人以上が死亡したと伝えられた。
10	高温(4～6月)	西シベリア北部及びその周辺	<ul style="list-style-type: none"> 西シベリア北部及びその周辺では、4～6月に異常高温となった。 西シベリア北部のディクソン：4～6月の3か月平均気温-3.5℃（平年差+4.7℃）。
11	高温(3、7～10月)	紅海周辺	<ul style="list-style-type: none"> 紅海周辺では、3月と7～10月に異常高温となった。 サウジアラビア南西部のジーザーン：3月の月平均気温29.4℃（平年差+1.3℃）、7～10月の4か月平均気温34.2℃（平年差+1.5℃）。
12	高温(6～12月)	モーリシャス及びその周辺	<ul style="list-style-type: none"> モーリシャス及びその周辺では、6～12月に異常高温となった。 モーリシャスのアガレーガ諸島：6～12月の7か月平均気温27.4℃（平年差+1.2℃）。
13	洪水(1月)	東アフリカ南部	<ul style="list-style-type: none"> 東アフリカ南部は1月に洪水に見舞われ、マラウイで270人以上、モザンビークで160人以上が死亡したと伝えられた。
14	高温(1～3、6～10月)	米国西部及びその周辺	<ul style="list-style-type: none"> 米国西部及びその周辺では、1～3月と6～10月に異常高温となった。 米国のカリフォルニア州サンタマリア：1～3月の3か月平均気温15.4℃（平年差+3.7℃）、6～10月の5か月平均気温20.2℃（平年差+3.1℃）。 米国本土の6月と9月の月平均気温は、1895年の統計開始以降で2番目に高かった（米国海洋大気庁）。
15	干ばつ(通年)	米国カリフォルニア州	<ul style="list-style-type: none"> 米国カリフォルニア州では、引き続き干ばつによる森林火災の被害などが伝えられた。 米国カリフォルニア州のロサンゼルス：年降水量153mm（平年比48%）。
16	多雨(2～5、10月)	米国南部～メキシコ中部	<ul style="list-style-type: none"> 米国南部からメキシコ中部にかけては、2～5月と10月に異常多雨となった。 米国のテキサス州コーバスクリスティ：2～5月の4か月間降水量718mm（平年比345%）。 メキシコ中部のサンルイスポトシ：10月の月降水量162mm（平年比572%）。 米国本土の5月の月降水量は、1895年の統計開始以降で最も多かった（米国海洋大気庁）。
17	高温(3～4、7、11～12月)	米国南東部～メキシコ南東部	<ul style="list-style-type: none"> 米国南東部からメキシコ南東部にかけては、3～4月、7月、11～12月に異常高温となった。 米国のフロリダ州タラハシー：3～4月の2か月平均気温21.2℃（平年差+3.8℃）、7月の月平均気温29.7℃（平年差+1.7℃）、11～12月の2か月平均気温19.6℃（平年差+5.9℃）。 米国本土の12月の月平均気温は、1895年の統計開始以降で最も高かった（米国海洋大気庁）。
18	地すべり(10月)	グアテマラ南部	<ul style="list-style-type: none"> グアテマラ南部では10月初めに発生した地すべりにより、270人以上が死亡したと伝えられた。
19	高温(5～12月)・少雨(5～9月)	南米北部	<ul style="list-style-type: none"> 南米北部では、5～12月に異常高温、5～9月に異常少雨となった。 コロンビア西部のイバゲ：5～12月の8か月平均気温25.7℃（平年差+2.0℃）。 コロンビア北部のバランキジャ：5～9月の5か月降水量127mm（平年比21%）。
20	高温(9～12月)	ブラジル東部・北西部	<ul style="list-style-type: none"> ブラジル東部と北西部では、9～12月に異常高温となった。 ブラジル東部のモンテスクロス：9～12月の4か月平均気温28.0℃（平年差+3.7℃）。 ブラジル北西部のマナス：9～12月の4か月平均気温30.4℃（平年差+2.9℃）。
21	多雨(5、7、11～12月)	パラグアイ及びその周辺	<ul style="list-style-type: none"> パラグアイ及びその周辺では、5月、7月、11～12月に異常多雨となった。 パラグアイのアスンシオン：5月の月降水量406mm（平年比345%）。 パラグアイ中部のコンセプション：7月の月降水量136mm（平年比377%）、11～12月の2か月降水量803mm（平年比251%）。
22	高温(4～5、9月)	チリ北部	<ul style="list-style-type: none"> チリ北部では、4～5月と9月に異常高温となった。 チリ北部のイキケ：4～5月の2か月平均気温19.9℃（平年差+2.0℃）。 チリ北部のラセレナ：9月の月平均気温13.1℃（平年差+1.2℃）。
23	高温(9～11月)	オーストラリア西部	<ul style="list-style-type: none"> オーストラリア西部では、9～11月に異常高温となった。 オーストラリア南西部のバース：9～11月の3か月平均気温19.2℃（平年差+2.2℃）。 1910年の統計開始以降で、オーストラリアの10月の月平均気温は最も高く、11月の月平均気温は3番目に高かった（オーストラリア気象局）。

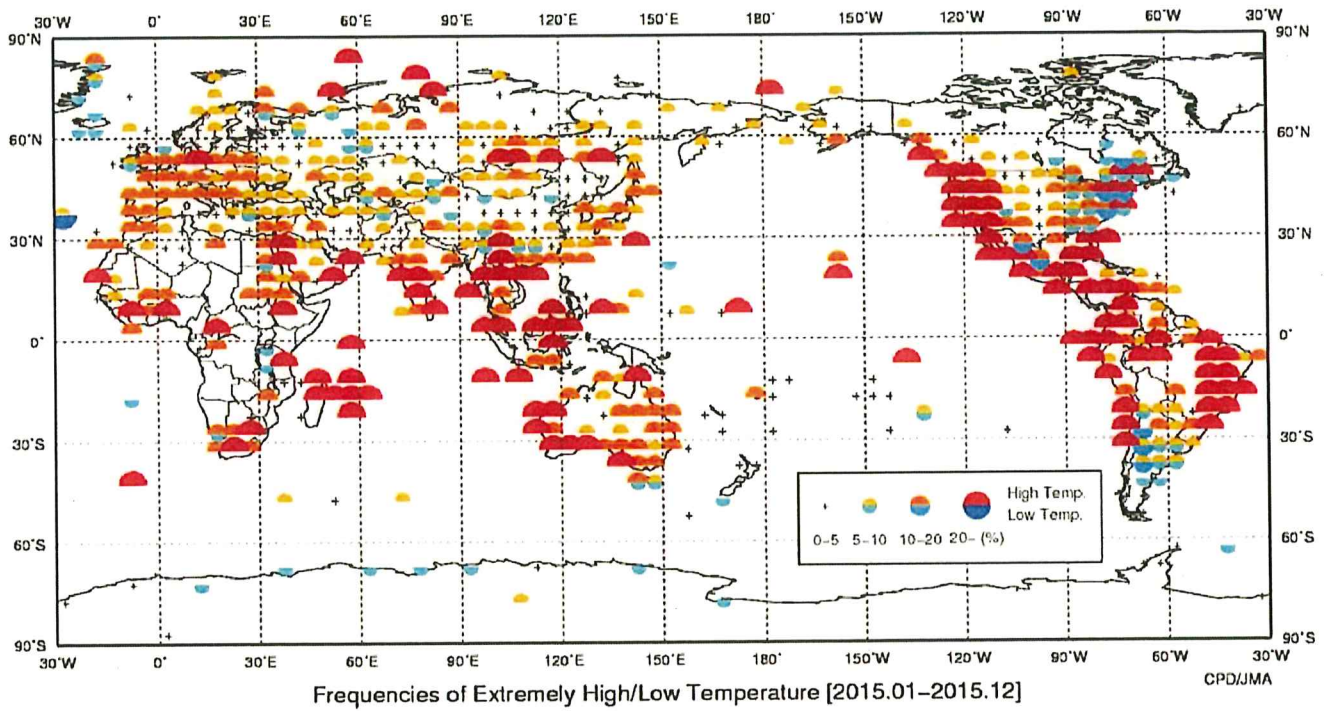
各種図表



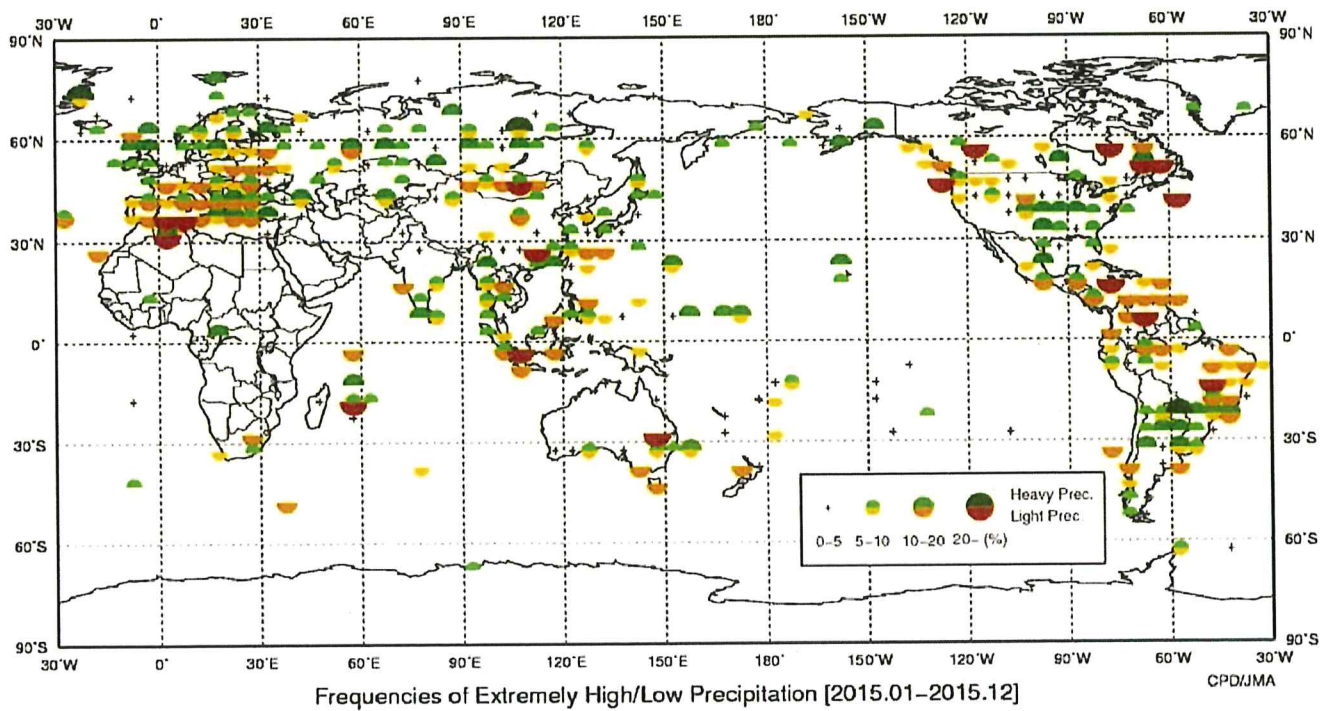
年平均気温偏差規格化階級分布図



年降水量平年比階級分布図



異常高温・異常低温出現頻度分布図



異常多雨・異常少雨出現頻度分布図